

III-3.0 粘土のレオロジー特性の確率論的考察

京都大学防災研究所 正員 村山朝郎

粘土骨格のレオロジー特性については、さきに柴田とともに考察を行ひ、特に破壊をともばわないときの変形特性についてはそれを示す力学モデルを提案した。^① このモデルは実験ともよく合うが、その説明の過程に一部検討の要があるよう思われたので、新たに考察によってこれを解説しながらまとめておいた。解析には次の仮定または条件を用いた。

- (1) 粘土骨格はセグメントかカードハウス状に累積した構造からなるとし、各接点ではセグメントは edge-face contact 形に接し、セグメント間に吸着水の膜がある。
- (2) 粘土にせん断応力を与えるとセグメント接点にはズレ力が発生するが、これがせん断せん断の移動形式からセグメントを次々とつぶし分離できることとする。(a) 滑性接点：図-1(a)に示すようにセグメント(S)がズレ力 f をうけると吸着水塊(w)に含まれる接点はヒンジとして動き、セグメント間の挾角は変わらざるを得ない。接点の滑動はおこらば形のものであつて、挾角の変化に応じて粒子間力の不平衡が生じ、変位に応じて回復力が発生するとみられるものである。(b) 弹性接点：図-1(b)のようにセグメント(S)は隣接セグメント上で滑動することによって挾角を変化するもので、弹性接点と同様の回復力のほかに接触面に摩さつ抵抗と吸着水膜の粘性抵抗と同時にうけける接点。この接点ではズレ力 f が残留変位に起因する回復力と摩さつ抵抗の合力以上に大きくなれば滑動が生じない。これらの力は接点ごとに異なり区別であるから、弾性接点は一部が滑動するが、弾性接点より一齊に運動することは一般に許されない。弹性接点と弾性接点の数の比率は外圧の大きさにかかわらず一定と仮定する。

- (3) 弹性接点に作用するズレ力はあらびい摩さつ力の大きさの類似分布についてには種々の形が考えられるが、ここではそれらの一つとしてそれが正規分布をすむものと仮定して滑動接点の生起確率(滑動率と仮称)などを求めた。この仮定のもとに、詳しく述べた滑動率 P_a と平均ズレ力 (m_a) との関係は図-2(c) のように正規周波数の累積分布曲線で示される。この曲線の上下端附近の曲線部分を無視すると中央部はほぼ直線で近似されるので、この近似直線と P_a とすれば、 P_a は

$$P_a = b(m_a - f_0) \quad \cdots \quad b: \text{係数}$$

この直線と水平軸との交点の値を m_a とすれば m_a はセグメントの滑動を生じさせないためのみかけの摩さつ抵抗である。これをスレカット下限降伏値と呼ぶことにする。

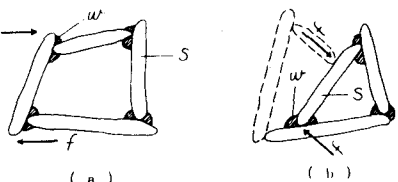


図-1

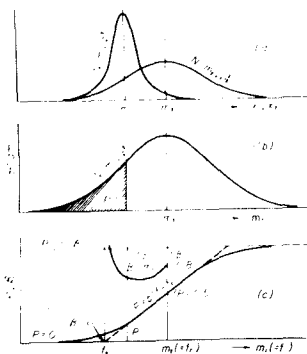


図-2

(4) 粘弹性接頭の滑動に対する粘性抵抗は、接頭に作用する吸着水の粘性によって生ずるものとし、この粘性は Eyring 粘性として求められるものとする。

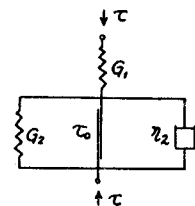
(5) 弹性接頭でも、粘弹性接頭でも、接頭はそれそれ独立して、それらの接頭の諸力の状態は他の接頭の変位に影響をうけないものとする。またどの形式の接頭でも、2個の接頭の微視的変位は粘土骨格に加えられる応力方向の巨視的なせん断ヒズミに一定比例関係を有すとされるものとする。

以上の仮定のもとに計算した結果次の連立方程式をうることができた。

$$\left. \begin{aligned} f &= f_1 + f_2, \quad f_1 = \tau / G_1, \\ \frac{df_2}{dt} &= 2A_2 \cdot T_{20} \cdot \sinh \left\{ B_2 \frac{T_2}{T_{20}} \right\} \end{aligned} \right\}$$

ここに: $T_2 = \tau - T_0 - G_2 f_2$

$T_{20} = \tau - T_0$



Yは粘土骨格に加えられるせん断応力によって生ずるせん断ヒズミ, A_2 , B_2 図-3

G_1 , G_2 は弾性である。また f は τ から求められるみかけの内部摩擦角の抵抗で、下限降伏値といふことにする。 T_{20} は T_0 の初期値である。この連立方程式を解けば、これは容易に図-3 のような散報のものと同一の力学モデルで示されることが明らかである。

以上は、散報の力学モデルを若干の仮定のもとに確率論的な考慮によって簡略化したが、モデル中の各要素の内容が解明されたため次のような事項の説明や解析ができるようになった。

下限降伏値(T_0)の意義: ここでは滑動率 γ_0 は正規確率分布曲線の距離として求められたが、この関数と平行で示し直線式で近似した結果、 T_0 以下の滑動率が無視されるものになり、 T_0 以下ではクリープ現象が発生しないことになる。しかし累積分布曲線が示すように T_0 以下でも微少な滑動率が存在していながら、 T_0 以下の外力を与えた実験ではわずかのクリープが発生することになる。 T_0 T . K. が T_0 以下でも図-3 のモデルで示されない故にはクリープの存在を指摘しているのはこの辺に理由があると思われる。

応力緩和の特性式を説明: 応力緩和の特性式は前記の連立方程式より $f = f_0$ (一定) のときに解いたときの外力と時間の関係として与えられるが、今までこの解は単純な形の式として解かれたものはなかった。ここで(1)を参考により、 T_0 から T_2 の初期値であることが解明されたために、その条件を適用して応力緩和の特性式を次式のように求めた。ここでは T_0 から f_0 , G_1 , G_2 に比して R はく離しておこうときの解を示す。応力緩和の初期における R は、

$$\left. \begin{aligned} \tau &= \frac{G_1 f_0}{G_1 + G_2} \left\{ 1 - \frac{G_1}{B_2 G_2} \log R \cdot t \right\} f_0 \\ R &= A_2 B_2 (G_1 + G_2) \end{aligned} \right\}$$

応力緩和が長時間経過すれば、では次式に漸近する。

$$(\tau)_{t \rightarrow \infty} = \frac{G_1 + G_2}{G_1 + G_2} f_0$$

引用文献 ① 村山耕郎; 槍田誠; 土木学会論文集 40号 (1956)

② Tan, T. K.; Proc. 5th ICSMER Vol III pp 141~143 (1961)